

ПАРАМЕТРЫ ОТКРЫТОЙ ДУГИ, СТАБИЛИЗИРОВАННОЙ  
ПРОДОЛЬНЫМ ПОТОКОМ АРГОНА

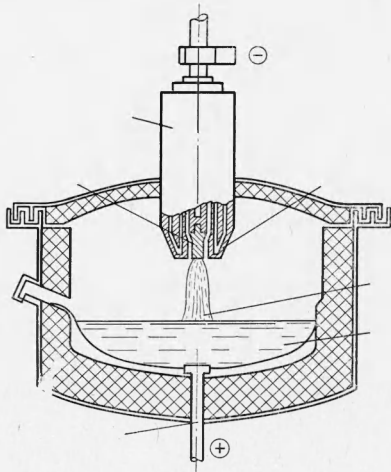
*Р. С. Бобровская, Н. И. Бортничук, А. А. Воронаев,  
А. В. Донской, С. В. Дресвин, М. М. Крутянский*

(Ленинград—Москва)

Излагаются результаты исследования температуры, скорости, динамического напора и статического давления в высокоточных аргоновых дугах, применяемых в плазменной металлургии.

Показано, что скорость и количество газа, прокачиваемого сквозь дуговой столб, определяются током дуги. Выполнен расчет и приведены формулы, позволяющие рассчитывать подобные дуги на основе упрощенной равновесной модели. Эксперимент сравнивается с теорией.

Дуговой разряд при атмосферном давлении с силой тока порядка нескольких килоампер, получаемый в плазмотроне с аксиальной подачей стабилизирующего газа, является основой нового метода плазменно-дуговой плавки различных металлов и сплавов. Возможность проводить плавку в атмосфере инертного газа с нерасходуемыми электродами и минимальными загрязнениями позволяет получать в таких установках металлы высокого качества. Схематически процесс плазменно-дугового переплава и плазмотрон представлены на фиг. 1. Параметры столба такой дуги, стабилизированной газовым потоком, необходимы для выбора оптимальных условий технологического процесса.



Фиг. 1

Экспериментально была исследована дуга длиной 100 мм, горящая между водоохлаждаемым вольфрамовым катодом  $\phi = 10$  мм и медным анодом. Аксиальный поток стабилизирующего дугу аргона подавался в кольцевой зазор между катодом и соплом с диаметром последнего  $\phi =$

$= 16$  мм. Дуга горела вертикально сверху вниз (катод наверху, анод внизу). Катод по вертикали располагался на срезе сопла. Столб дуги исследовался при следующих условиях: сила тока  $I = 600, 800, 1000, 1400$  а, расход стабилизирующего газа  $G = 1, 2, 3, 4$  г/сек.

Измерялись следующие параметры: поле температур дуги  $T(r, z)$ ; скоростной напор и статическое давление в столбе дуги  $P(r, z), P_0$ ; по измеренным значениям  $P$  и  $T$  определялись затем  $v, \rho v$ .

Температура дуги измерялась спектральным методом по абсолютной и относительной интенсивностям спектральных линий (Ag I = 4040, 4251, 4345 Å; Ag II = 4013, 4348, 4806 Å) и по абсолютной интенсивности

рекомбинационного континуума в области 4500 Å. Были использованы вероятности переходов и рекомендации по измерению температуры спектральными методами, содержащиеся в работах [1-3].

Для измерения скоростного напора и статического давления в дуге была разработана методика [4] и специальный датчик. Неохлаждаемая трубка Пито, соединенная с помощью специального уплотнения с чувствительной мембраной конденсаторного микрофона, простреливалась с помощью маятникового устройства через столб дуги. Сигнал давления, воспринимаемый приемным отверстием трубки Пито, пневматически передавался на мембрану и с помощью специальной схемы формировался в виде электрического импульса, который регистрировался на экране осциллографа. Скорость прострела датчика  $\sim 0.5$  м/сек выбиралась из условия термической стойкости трубки Пито.

Сигнал давления градуировался по микроманометру на холодном потоке. Чувствительность схемы позволяла регистрировать изменение давления  $\sim 10$  дин/см<sup>2</sup>. Пространственная точность измерений определялась приемным отверстием трубки Пито и составляла  $\sim 2$  мм. Для измерения статического давления применялся специальный дисковый насадок, соединенный с мембраной неохлаждаемой трубкой. Плоскость диска перемещалась параллельно оси дуги, что исключало воздействие скоростного напора на приемное отверстие.

Точность измерения напора  $\sim 5\%$  на оси столба и  $\sim 25\%$  на периферии дуги.

Подробно частотная характеристика датчика, его чувствительность и погрешности измерений изложены в [4].

Регистрируемое датчиком полное давление  $P_{\Sigma}$  суммируется из скоростного напора плазмы  $\rho v^2/2$  и статического давления в столбе дуги  $P_0$ , которое состоит из магнитного «пинч-эффекта» и избыточного давления в камере (последнее почти всегда было равно 1 атм)

$$P_{\Sigma} = 1/2 \rho v^2 + P_0$$

Если из измерений известны  $P_{\Sigma}$ ,  $P_0$  и  $T \rightarrow \rho$ , то на основании этого равенства может быть определена скорость плазмы

$$v = \sqrt{\frac{2(P_{\Sigma} - P_0)}{\rho}}$$

Статическое давление в столбе дуги может быть рассчитано, если известен закон изменения плотности тока  $j(r)$ . Для контроля и оценки измеренных значений  $P_0$  был выполнен теоретический расчет этой величины для параболического распределения тока по радиусу

$$j(r) = j_0 (1 - r^2/R^2)$$

Для такого распределения осевое значение  $P_0(0)$  связано с полным током дуги следующей формулой:

$$P_0(0) = \frac{\mu_0}{4\pi} \frac{5I^2}{3\pi R^2}$$

Результаты измерений осевых значений температуры  $T$ , полного  $P_{\Sigma}$  и статического  $P_0$  давления, скоростного напора  $P_v$  в столбе дуги, а также вычисленные по ним значения  $v$  и  $\rho v$  для сечения дуги, находящегося на расстоянии 3 см от катода, для  $G = 2$  г/сек при различных токах приведены в табл. 1.

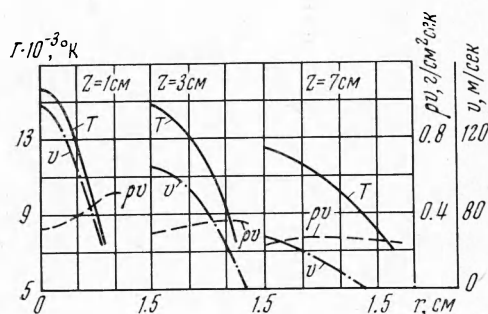
Результаты измерений радиального распределения некоторых величин в различных сечениях по длине дуги представлены на фиг. 2. Температура

Таблица 1

Осевые значения параметров дуги  $G_0 = 2$  г/сек

| $I, a$ | $T, ^\circ K$ | $P_\Sigma, \text{н/м}^2$ | $P_0, \text{н/м}^2$ | $P_v, \text{н/м}^2$ | $v, \text{м/сек}$ | $\rho v(0), \text{см}^2/\text{сек}$ | $G, \text{г/сек}$ |
|--------|---------------|--------------------------|---------------------|---------------------|-------------------|-------------------------------------|-------------------|
| 600    | 13200         | 200                      | 120                 | 80                  | 70                | 0.22                                | 0.6               |
| 800    | 13500         | 250                      | 140                 | 110                 | 83                | 0.26                                | 0.75              |
| 1000   | 13800         | 300                      | 180                 | 120                 | 95                | 0.27                                | 1.2               |
| 1200   | 14100         | 400                      | 240                 | 160                 | 110               | 0.30                                | 1.7               |
| 1400   | 14500         | 520                      | 200                 | 220                 | 130               | 0.34                                | 2.3               |

на оси дуги заметно падает при удалении от катода. Профиль  $T(r)$  в сечении  $z_3 = 7$  см заметно отличается от профиля  $T(r)$  в сечении  $z_1 = 1$  см. Это обстоятельство связано с увеличением диаметра столба дуги от катода



Фиг. 2

к аноду и уменьшением плотности тока на оси. Измерение скоростного напора показало, что сама величина  $\rho v^2/2$  в таких дугах по сравнению, например, с плазмотронами для резки металлов невелика. Однако скоростной напор и скорость газового потока (табл. 1, фиг. 2) сильно зависят от полного тока дуги  $I$ . Так, скорость на оси дуги при увеличении тока от 600 до 1400 а увеличивается почти в 2 раза, а динамический напор — в 2,5 раза.

Значительное увеличение силы тока в таких дугах может привести к существенному росту динамического напора и к разбрызгиванию жидкой ванны металла. Возможно, именно эта причина может в некоторых случаях ограничить увеличение тока и мощности плавильных плазмотронов.

Представляет интерес оценить общее количество газа  $G$ , захваченное в столб дуги, по отношению к расходу стабилизирующего газа  $G_0$ . Для определения величины  $G$  было просуммировано распределение  $\rho v$  в различных сечениях дуги при различных токах

$$G = 2\pi \int_0^R \rho v r dr$$

Радиус дуги  $R$  определялся по изотерме  $T \approx 7000^\circ K$ .

Результаты такого суммирования для расхода 2 г/сек представлены на фиг. 3. Из фигуры видно, что полный расход газа через столб дуги сильно зависит от силы тока  $I$ . При измерении силы тока от 600 до 1400 а  $G$  увеличивается в 3 раза. Происходит это как за счет роста скорости газа, так и за счет увеличения сечения дуги, ограниченного изотермой  $T \approx 7000^\circ K$ . Величина  $G$  не остается постоянной по длине столба дуги, что связано в первую очередь с увеличением диаметра дуги по мере приближения к аноду.

С этой точки зрения можно объяснить некоторую пространственную нестабильность дуги вблизи анода. При заданном расходе стабилизирующего газа  $G_0$  по мере его движения от катода все большее количество этого газа захватывается в дугу и все меньшее количество остается на стабилизацию.

Вблизи анода может оказаться, что весь газ  $G_0$  захвачен в столб дуги и стабилизирующая газовая завеса отсутствует. В этом случае появляется пространственная неустойчивость дуги в анодной зоне и режим работы плазмотрона становится нестабильным. Последнее обстоятельство может быть связано также с магнитогидродинамической неустойчивостью самого столба дуги, а также с турбулентностью стабилизирующей струи холодного газа. Сильный захват стабилизирующего газа нельзя не учитывать при увеличении тока. Как следует из фиг. 3, при токах 1500 а количество стабилизирующего дугу газа в данной конструкции плазмотрона должно быть не меньше 3 г/сек.

С точки зрения захвата холодного газа дуга ведет себя как электромагнитный насос. В работе [5] было отмечено, что количество газа, захватываемого дугой, определяется конусной формой дуги и связанным с ней градиентом статического давления, который разгоняет газ от катода к аноду.

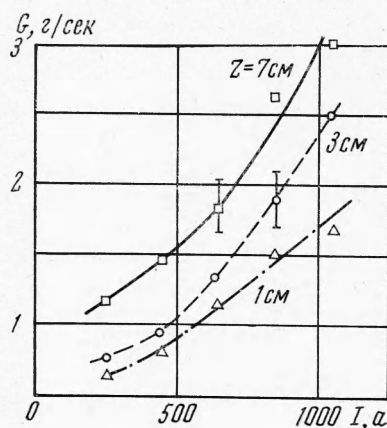
Такой же механизм действует и в плавильных дугах. Вот почему увеличение силы тока (и градиента статического давления) приводит к такому сильному увеличению скорости, скоростного напора и количества газа, захватываемого дугой.

Радиальное распределение массового расхода (фиг. 2) указывает на то, что в сечении, близком к катоду, часть газа обдувает и стабилизирует столб дуги. По мере удаления от катода газ все более захватывается дугой, распределение  $\rho v$  становится пологим, а в сечениях, близких к аноду, можно с малой погрешностью полагать, что  $\rho v = \text{const}$ . Следует заметить, что распределение  $\rho v(r)$  по всей длине дуги не слишком отличается от  $\rho v(r) = \text{const}$ . Это, кстати говоря, дает основание и в дальнейшем при расчете дуги полагать

$$\rho v = \text{const} = G_0/\pi R^2$$

Измерение величины  $P_0(0)$  в дуге с помощью дискового насадка дает значения, приблизительно в 2 раза меньшие, чем расчетные значения. Это обстоятельство может быть связано, во-первых, с невысокой точностью измерений статического давления таким методом, а во-вторых, с иным распределением тока, отличающимся на самом деле от параболического, принятого в расчете. Результаты измерений распределения  $P_0(r)$  указывает на то, что реальный токовый радиус  $R$  дуги, по-видимому, несколько больше, чем принимаемый в расчете радиус, который соответствует изотерме  $T \approx 7000^\circ \text{K}$ . Невысокая точность измерения  $P_0(r)$  заставляет в настоящее время лишь отметить эти эффекты без анализа их количественной стороны. По этой же причине при вычислении  $v$  и  $\rho v$  всюду были использованы расчетные значения  $P_0$ .

Измерения степени турбулентности по сечению столба дуги, выполненные с помощью специального турбулиметра, позволяют сделать вывод о том,



Фиг. 3

что течение в столбе дуги имеет ламинарный характер. Степень турбулентности, определяемая как отношение средней пульсационной составляющей скорости  $\bar{v}'$  к среднему значению направленной скорости  $\bar{v}_z$  ( $\epsilon = \bar{v}'/\bar{v}_z$ ), по измерениям на оси и на краю столба дуги в сечении  $z = 3$  см составляет соответственно величины 0.02 и 0.10. Имеющиеся пульсации связаны, по всей вероятности, с нестабильностью анодных и катодных пятен и с пульсациями в источнике питания. Частота их находится в диапазоне 100—300 гц. Ограниченные возможности турбулиметра не позволили измерить частоты пульсацией выше 1000 гц. Эти измерения позволяют в дальнейшем при расчетном объяснении полученных результатов пользоваться ламинарной моделью дуги.

Для сравнения полученных данных с теорией равновесной плазмы был выполнен расчет столба дуги в безграничном потоке газа.

Если свойства газа, в атмосфере которого горит дуга, являются известными функциями температуры и давления, то параметры термически равновесной электрической дуги определяются путем совместного решения дифференциальных уравнений энергии и движения. Эти уравнения были решены путем введения упрощающих предположений, важнейшими из которых являются допущения о стационарности режима, одномерном и ламинарном характере движения газа, постоянстве  $\rho v$ ,  $c_p/\lambda$  и  $\mu$ , отсутствии самопоглощения излучения и несжимаемости газа в объеме проводящей зоны дугового столба. Указанные уравнения можно представить в следующем виде:

$$\sigma E^2 = U_r + \rho v_z c_p \frac{\partial T}{\partial z} - \frac{1}{r} \frac{\partial}{\partial r} \left( r \lambda \frac{\partial T}{\partial r} \right) \quad (1)$$

$$\rho v_z \frac{\partial v_z}{\partial z} = - \frac{\partial P_{\text{ст}}}{\partial z} + \mu_0 j_r H_\phi + \mu \left( \frac{\partial^2 v_z}{\partial r^2} + \frac{1}{r} \frac{\partial v_z}{\partial r} \right) - \frac{\partial P}{\partial r} + \mu_0 j_z H_\phi = 0 \quad (2)$$

где  $T$  и  $v_z$  — температура и скорость газа;  $\sigma, \mu_0, \lambda, \mu, c_p, \rho$  — удельная электропроводность, магнитная проницаемость, коэффициент теплопроводности, коэффициент динамической вязкости, удельная изобарная теплоемкость и плотность газа соответственно;  $U_r$  — энергия излучения;  $E$  и  $H$  — напряженность электрического и магнитного полей;  $j$  — плотность тока;  $P$  — давление газа в дуге.

Для решения уравнения энергии (1) вводится функция

$$S = \int_0^T \lambda dT$$

Напряженность электрического поля выражается через ток дуги

$$I = E(z) \int_0^R 2\pi r s dr$$

Свойства газа  $\sigma(S)$  и  $U_r(S)$  аппроксимируются прямыми

$$\sigma = \begin{cases} 0 & \text{при } 0 \leq S \leq S_1 \\ B(S - S_1) = BS^* & \text{при } S_1 \leq S \leq S_0 \end{cases}$$

$$U_r = \begin{cases} 0 & \text{при } 0 \leq S \leq S_1 \\ A(S - S_1) = AS^* & \text{при } S_1 \leq S \leq S_0 \end{cases}$$

где  $S_0$  — значения функции на оси дуги.

Конусный характер дуги на начальном участке учитывается при помощи соотношения  $R(z) = R_0 f(z)$ , где  $R(z)$  — текущий радиус дуги,



$R_0 = R|_{z \rightarrow \infty}$ , а  $f(z)$  на интервале  $0 < z < \infty$  — непрерывная, дифференцируемая функция, монотонно возрастающая от 0 до 1. Радиус дуги в начальном сечении у поверхности катода  $R_k = R|_{z=0}$  предполагается известным из эксперимента и равным радиусу катодного пятна. Мало меняющаяся функция  $B(S_0)$  предполагается постоянной в объеме дуги. Редкий рост функции  $A(S_0)$  по направлению от анода к катоду учитывается соотношением

$$A = A_0 \frac{R_0^2}{R^2} \quad (A_0 = A(S_0)|_{z \rightarrow \infty})$$

С учетом изложенного уравнение (1) можно записать

$$I^2 B \left[ \int_0^R 2\pi r S^* dr \right]^{-2} = AS^* \frac{R_0^2}{R^2} + \rho v_z \frac{c_p}{\lambda} \frac{\partial S^*}{\partial z} - \frac{1}{r} \frac{\partial}{\partial r} \left( r \frac{\partial S^*}{\partial r} \right) \quad (3)$$

а граничные условия задачи

$$S^*(RZ) = 0, \quad \dot{S}^*(rz_0) = 0 \quad (4)$$

Решение квазилинейного параболического уравнения (3) с однородными граничными условиями (4) может быть получено в виде

$$S^* = S_{00}^* \psi_n \left( \frac{r}{R} z \right) J_0 \left( \gamma_1 \frac{r}{R} \right) \quad (5)$$

где

$$S_{00}^* = S_0^*|_{z \rightarrow \infty} = \frac{\gamma_1}{2\pi J_1(\gamma_1) B^{1/2} [A_0 R_0^2 + \gamma_1^2]^{1/2}} \frac{I}{R_0}$$

$J_0(x)$  — функция Бесселя нулевого порядка первого рода,  $\gamma_1 = 2.405$  — первый корень этой функции, а  $J_1(x)$  — функция Бесселя первого порядка первого рода. Если

$$f(z) = \left\{ 1 - \exp \left[ \frac{2(A_0 R_0^2 + \gamma_1^2)}{R_0^2 \rho v_z c_p / \lambda} z \right] \right\}^{1/2} \quad (6)$$

то

$$\psi_n \left( \frac{r}{R} z \right) = \left\{ \frac{1 - f^2(z)}{[f^2(z)]^{n+1}} \left[ \int \frac{[f^2(z)]^{n-1} d[f^2(z)]}{[1 - f^2(z)]^2} + C_1 \right] \right\}^{1/2} \quad (7)$$

параметр  $n$  определяется равенством

$$n J_0 \left( \gamma_1 \frac{r}{R} \right) = \gamma_1 \frac{r}{R} J_1 \left( \gamma_1 \frac{r}{R} \right)$$

Интеграл в правой части выражения (7) можно выразить в конечном виде через элементарные функции для счетного множества значений параметра  $n$ , определяемых выражением  $n = n_1 + 1/n_2$  ( $n_1 = 0, 1, 2, \dots$ ;  $n_2 = 1, 2, 3, \dots$ )

Равенства (5) и (7) являются решением задачи о расчете температурного поля дуги, поскольку позволяют найти значение функции  $S^*$  в любой точке проводящей зоны.

Для точек, лежащих на оси дуги

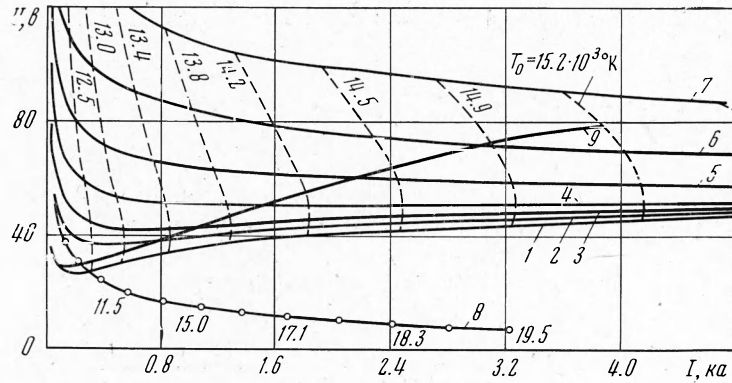
$$\psi_n \left( \frac{r}{R}, z \right) \Big|_{n=0} = \psi_0(z) = \left\{ \frac{1 - f^2(z)}{f^2(z)} \ln \frac{f^2(z)}{1 - f^2(z)} + \frac{1 - f^2(z)}{f^2(z)} C_1 + 1 \right\}^{1/2}$$

где

$$C_1 = \ln \frac{1 - R_k^2}{\bar{R}_k^2} - \frac{\bar{R}_k^2}{1 - \bar{R}_k^2}, \quad \bar{R}_k = \frac{R_k}{R_0}$$

На основании этих равенств могут быть получены выражения, определяющие ток, напряженность электрического поля, напряжение дуги, а также тепловые потери столба излучением, теплопроводностью и конвекцией. В указанные выражения в качестве неизвестных величин входят локальный расход газа  $\rho v_z$  и радиус дуги на бесконечности  $R_0$ .

Уже указывалось, что конусная форма дуги приводит к возникновению в столбе осевой составляющей поперечных сил и градиента давления этих сил  $\partial P/\partial z$ , вызывающих направленное движение газа в столбе. При этом начальный участок дуги уподобляется электромагнитному насосу, засасывающему газ из окружающей среды и прогоняющему его через столб в направлении анода.



Фиг. 4

Оценка относительной величины сил инерции и вязкости показывает, что на оси дуги силы вязкости значительно меньше сил инерции, а на периферии силы вязкости и силы инерции соизмеримы. Этот результат позволяет рассматривать поверхности  $r = R$  в качестве квазитвердой стенки, отделяющей дугу от внешней среды и пропускающей из окружающей среды в дугу лишь такое количество газа, которое способен прокачать «электромагнитный насос».

В результате решения уравнения движения (2) получено следующее выражение для локального расхода газа в дуге, длина которой  $l$ :

$$\rho v_z = \left[ \frac{\gamma_1 \mu_0 I^2}{16 \pi^2 J_1(\gamma_1) R_0^2} \rho_{0l} F(l) \right]^{1/2} \quad (8)$$

где  $F(l) = F(z) |_{z=z_0+l}$

$$F(z) = \frac{1}{f^2(z)} \left[ \frac{1-f^2(z)}{f^2(z)} \right]^t \left\{ \ln f^2(z) + \frac{t}{2} [\ln f^2(z)]^2 + t \frac{\pi}{3} \arcsin f^2(z) \right\} + C_2$$

$$C_2 = -\ln \bar{R}_k^2 - \frac{t}{2} [\ln \bar{R}_k^2]^2 - t \frac{\pi}{3} \arcsin \bar{R}_k^2$$

$$t = \frac{\gamma_1^2}{2} \frac{\text{Pr}}{A_0 R_0^2 + \gamma_1^2}$$

$\text{Pr}$  — критерий Прандтля,  $\rho_{0l}$  — плотность газа на оси дуги в сечении  $z = z_0 + l$ .

В соответствии с формулой (8) скорость движения газа в дуге быстро растет при увеличении тока.

Радиус дуги  $R_0$  можно определить, рассматривая столб дуги в качестве твердого тела, конвективный теплообмен которого с окружающей сре-

дой в поле сил тяготения описывается критериальным соотношением  $Nu = C (Gr)^{1/3} Pr^{1/2}$ , где  $C = 3$ ,  $Nu$ ,  $Gr$  — критерии теплообмена Нуссельта и Грасгофа соответственно. Определяющая температура, при которой свойства газа подставляются в выражение  $T^* = (T_1 + T_\infty)/2$ . Здесь  $T_1$  — температура на поверхности  $r = R$ , а  $T_\infty$  — температура окружающей среды<sup>1</sup>.

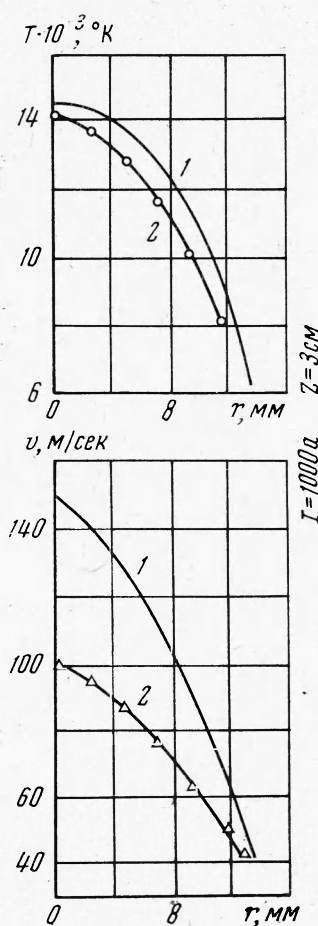
На основании изложенной модели были выполнены расчеты температурного поля, скорости движения газа и вольт-амперной характеристики дуги длиной 100 мм для  $G = 2$  г/сек. На фиг. 4 представлены полученные из расчета вольт-амперные характеристики такой дуги с учетом (кривые 1—7) и без учета (кривая 8) излучения. Характеристики 1—7 получены для различных значений расхода газа  $G$  через столб дуги (1 —  $G = 0$ , 2 — 0.5, 3 — 1, 4 — 2, 5 — 4, 6 — 8, 7 — 16, 8 — 5 г/сек). Видно, что учет излучения и нагрева газа существенно поднимает вольт-амперные характеристики дуги. На этой же фигуре представлена экспериментальная кривая 9 ( $G_0 = 2$  г/сек), которая пересекает расчетные кривые 1—7. Это обстоятельство объясняется тем, что с увеличением силы тока столб дуги захватывает все большее количество газа, поэтому в реальных условиях параметр  $G$  не остается постоянным при изменении  $I$ .

Кривые (фиг. 4) рассчитаны для условия  $T_\infty = 273^\circ \text{K}$  и поэтому отличаются от условий эксперимента, в котором  $T_\infty > 500^\circ \text{K}$ . Величина  $T_\infty$  оказывает влияние на весь профиль  $T(r)$ , что приводит к некоторому увеличению экспериментального значения  $G$  и некоторому смещению кривых (фиг. 4). Сравнение экспериментальных  $G_e$  (фиг. 3) с расчетными значениями  $G_i$  после введения поправки для  $T_\infty$  показывает удовлетворительное объяснение зависимости величины  $G$  от тока (см. ниже)

|                     |      |      |      |
|---------------------|------|------|------|
| $I, \text{a}$       | 500  | 1000 | 1500 |
| $T_\infty$          | 200  | 350  | 700  |
| $G_i, \text{г/сек}$ | 0.68 | 1.54 | 1.65 |
| $G_e, \text{г/сек}$ | 0.85 | 1.70 | 2.2  |

На фиг. 5 представлены полученные из расчета (1) и измеренные (2) распределения  $T(r)$  и  $v(r)$  ( $I = 1000 \text{ a}$ ,  $z = 3 \text{ см}$ ,  $G = 2 \text{ г/сек}$ ). Совпадение данных удовлетворительное для  $v(r)$  и хорошее для  $T(r)$ . Из изложенного ясно, что предлагаемая модель расчета, несмотря на все упрощения и допущения, позволяет довольно просто, аналитическим методом произвести расчет открытой дуги плавильного плазматрона с хорошим приближением к реальным параметрам по температуре и удовлетворительным по скорости.

<sup>1</sup> Это предположение является весьма грубым, с ним, по-видимому, и связаны основные расхождения теории и эксперимента.



Фиг. 5



Расчет также подтверждает один из основных результатов эксперимента, согласно которому конусная открытая дуга представляет собой «электромагнитный насос», прокачивающий количество газа, пропорциональное силе тока.

Поступила 3 VIII 1972

#### ЛИТЕРАТУРА

1. G e r i c k e W. Messung der Ubergangswahrscheinlichkeit sowie Halbwertbreite und Verschiebung von Al-Linien in thermisch leuchtenden Plasmen. Z. Astro-Phys., 1961. Bd 53, H. 1.
2. O l s e n H. N. Measurement of argon transition probabilities using the thermal arc plasma as a radiation source. J. Quant. Spectrosc. and Radiat. Trans., 1963, vol. 3, No. 1.
3. Г о л ь д ф а р б В. М. Простая методика определения температуры и электронной концентрации однокомпонентной плазмы. Оптика и спектроскопия, 1965, т. 19, вып. 2.
4. В о р о п а е в А. А., Д р е с в и н С. В., К л у б н и к и н В. С. Измерение скорости течения плазмы трубкой полного напора. Теплофизика высоких температур, 1969, т. 7, вып. 4.
5. В о р о п а е в А. А., Г о л ь д ф а р б В. М., Д о н с к о й А. В., Д р е с в и н С. В., К л у б н и к и н В. С. Тепловые и газодинамические характеристики дугового разряда в продольном потоке аргона. Теплофизика высоких температур, 1969, т. 27, вып. 3.